

# Softwarekompensation für hadronische Schauer mit den CALICE-Kalorimetern

Katja Seidel

Max-Planck-Institut für Physik

DPG Frühjahrstagung 2010  
18.03.2010



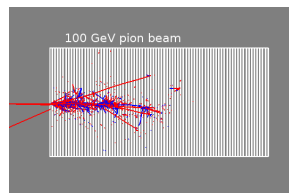
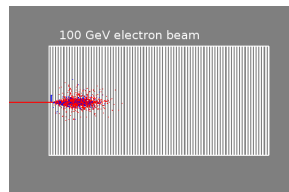
Max-Planck-Institut für Physik  
(Werner-Heisenberg-Institut)



- 1 Softwarekompensation
- 2 Schauerrekonstruktion
- 3 Wichtung durch Energiedichte
- 4 Neuronales Netz
- 5 Zusammenfassung

## Hadronische Schauer:

- Elektromagnetische, sichtbare hadronische und nicht sichtbare / detektierbare Komponenten
- Große Fluktuationen der elektromagnetischen und hadronischen Anteile von Ereignis zu Ereignis
- Bei gleicher Energie höheres Detektorsignal für elektromagnetischen Schaueranteil:  $\frac{e}{\pi} > 1$ 
  - Softwarekompensation um  $\frac{e}{\pi} = 1$  zu erreichen



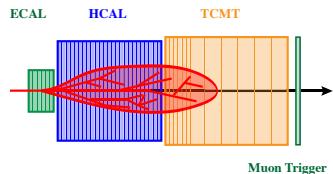
## Softwarekompensation durch zwei Analysen:

- verschiedene Schauervariablen und ein neuronales Netz
- Energiedichte der Schauer um Anteile der had. und elektr. abzuschätzen. Stärkere Wichtung von Schauern mit großer hadronischer Komponente.

# Auf Schauerrekonstruktion basierende Softwarekompensation

Beide Analysen behandeln nur den Schauer als ganzes!  
Keine Subschaueranalyse!

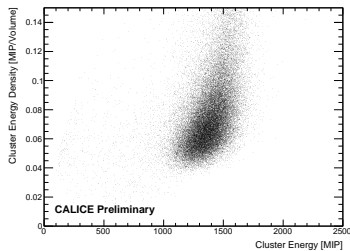
- 1 Schauerrekonstruktion im analogen hadronischen Kalorimeter (AHCAL) und Tail-Catcher Clustering von Schauern, die im AHCAL starten
- 2 Berechnung der Schauervariablen der Teststrahl-Daten und der Simulation
- 3 Analyse entwickelt mit Simulation verschiedener hadronischer Modelle: FTF\_BIC und QGSP\_BERT
- 4 Anwendung der Gewichte bzw. des trainierten Neuronalen Netzes auf Teststrahl Daten



- ⇒ Globale Methode
- ⇒ Vorteile: Ermittlung durch Simulation; Test der Simulation

# Gewichtung mit Hilfe der Energiedichte der Schauer

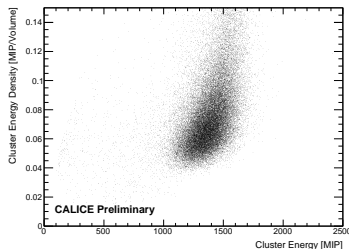
Hadronische Schauer mit hoher Energiedichte  $\rho$   
⇒ hohe rekonstruierte Energie



# Gewichtung mit Hilfe der Energiedichte der Schauer

Hadronische Schauer mit hoher Energiedichte  $\rho$   
⇒ hohe rekonstruierte Energie

$$\begin{aligned} E_{rec}[GeV] &= \sum_{hit} E_{hit}[MIP] \cdot \omega(\rho, E) \\ &= E_{rec}[MIP] \cdot \omega(\rho, E) \end{aligned}$$

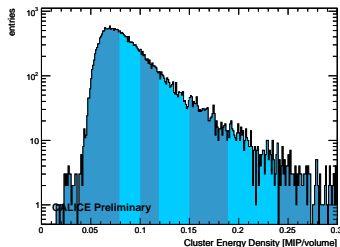


# Gewichtung mit Hilfe der Energiedichte der Schauer

Hadronische Schauer mit hoher Energiedichte  $\rho$   
⇒ hohe rekonstruierte Energie

$$\begin{aligned} E_{rec}[GeV] &= \sum_{hit} E_{hit}[MIP] \cdot \omega(\rho, E) \\ &= E_{rec}[MIP] \cdot \omega(\rho, E) \end{aligned}$$

- Individuelle Gewichte durch Minimierung der Funktion  $\chi^2 = E_{rec} \cdot \omega - E_{beam}$

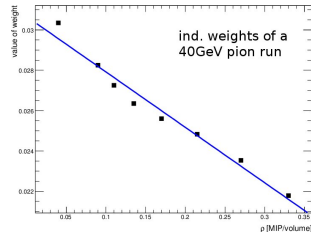
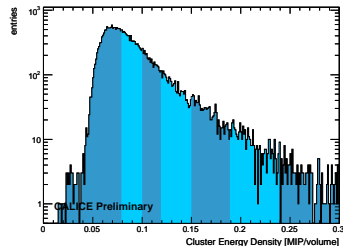


# Gewichtung mit Hilfe der Energiedichte der Schauer

Hadronische Schauer mit hoher Energiedichte  $\rho$   
⇒ hohe rekonstruierte Energie

$$\begin{aligned} E_{rec}[GeV] &= \sum_{hit} E_{hit}[MIP] \cdot \omega(\rho, E) \\ &= E_{rec}[MIP] \cdot \omega(\rho, E) \end{aligned}$$

- Individuelle Gewichte durch Minimierung der Funktion  $\chi^2 = E_{rec} \cdot \omega - E_{beam}$
- Parametrisierung der individuellen Gewichte durch  $\omega = a(E) \cdot \rho + b(E)$

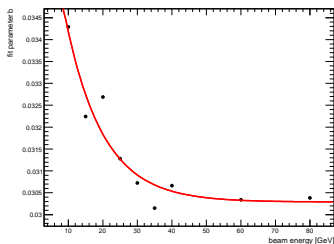
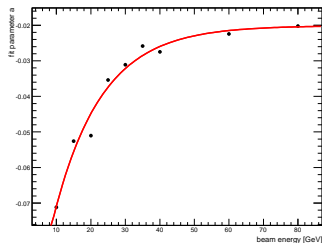


# Gewichtung mit Hilfe der Energiedichte der Schauer

Hadronische Schauer mit hoher Energiedichte  $\rho$   
⇒ hohe rekonstruierte Energie

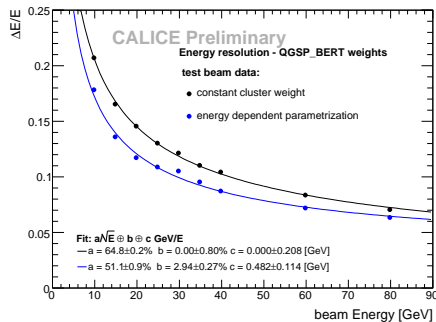
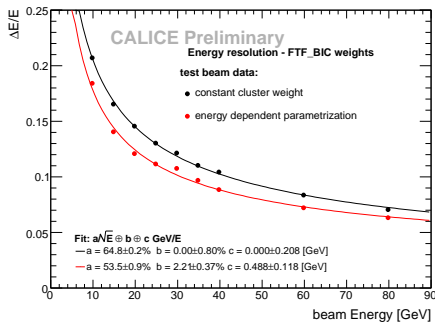
$$\begin{aligned} E_{rec}[GeV] &= \sum_{hit} E_{hit}[MIP] \cdot \omega(\rho, E) \\ &= E_{rec}[MIP] \cdot \omega(\rho, E) \end{aligned}$$

- Individuelle Gewichte durch Minimierung der Funktion  $\chi^2 = E_{rec} \cdot \omega - E_{beam}$
- Parametrisierung der individuellen Gewichte durch  $\omega = a(E) \cdot \rho + b(E)$
- Parametrisierung der Energieabhängigkeit durch Funktionen für  $a(E)$  und  $b(E)$ ,  
 $E = E_{rec}$



⇒ Bestimmung der Gewichte somit Teststrahlendaten unabhängig!

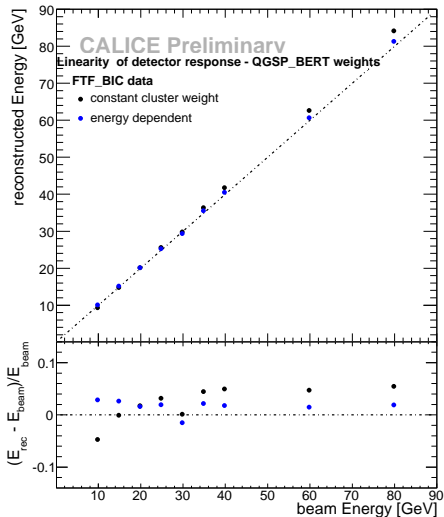
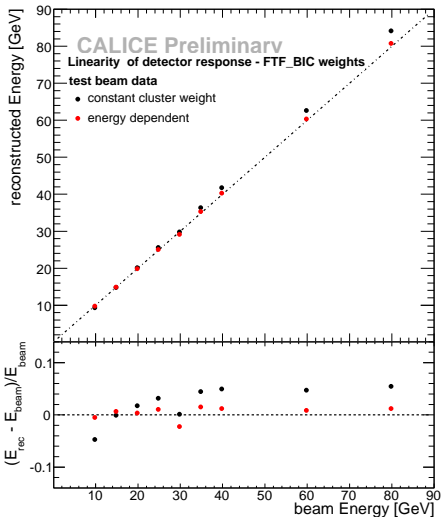
## Energieauflösung:



- Ohne Gewichtung:  $\frac{\sigma}{E} = \frac{64.8 \pm 0.2\%}{\sqrt{E}} \oplus 0.0 \pm 0.8\% \oplus \frac{0.0 \pm 0.2}{E}$
- Stochastischer Term:  
FTF\_BIC: 53.5 %, QGSP\_BERT: 51.1 %
- Konstanter Term:  
FTF\_BIC: 2.2 %, QGSP\_BERT: 2.9 %
- Vergleichbare Verbesserung der Energieauflösung → ca. 15 %

# Ergebnisse mit der Parametrisierung

## Linearität:

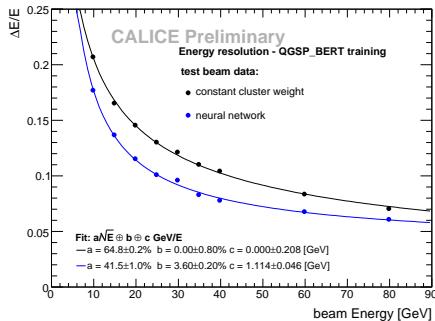
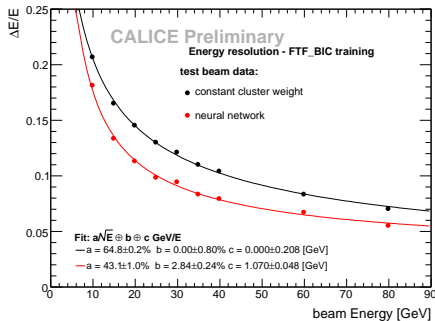


TMVA - Toolkit for Multivariate Data Analysis with ROOT Input:

- Training: Monte Carlo Ereignisse mit kontinuierlicher Energie
- Zwei hadronische Modelle: QGSP\_BERT und FTF\_BIC von GEANT4
- 6 Eingangsvariablen
- Targetwert: Strahlenergie
- Ausgangsneuron: rekonstruierte Energie
- Anwendung des trainierten neuronalen Netzes auf Teststrahlendaten



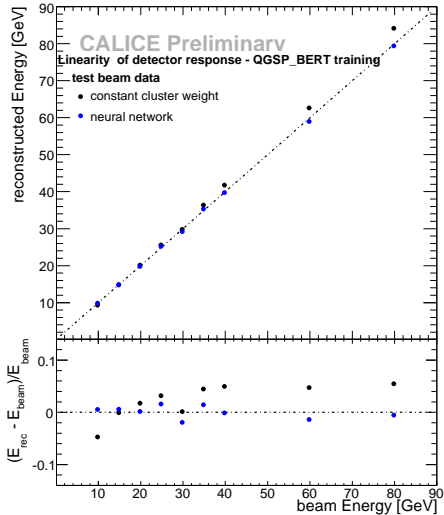
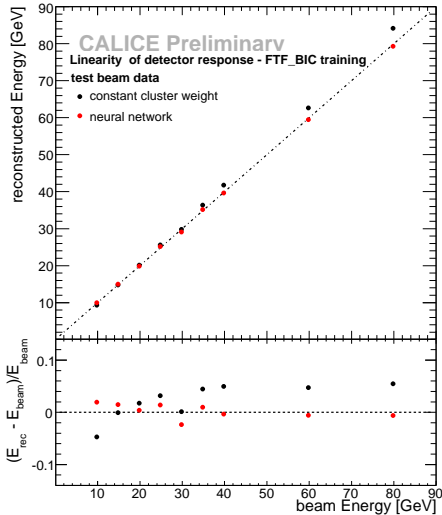
## Energieauflösung:



- Ohne Gewichtung:  $\frac{\sigma}{E} = \frac{64.8 \pm 0.2\%}{\sqrt{E}} \oplus 0.0 \pm 0.8\% \oplus \frac{0.0 \pm 0.2}{E}$
- Stochastischer Term:  
FTF\_BIC: 43.1 %, QGSP\_BERT: 41.5 %
- Konstanter Term:  
FTF\_BIC: 2.8 %, QGSP\_BERT: 3.6 %
- Vergleichbare Verbesserung der Energieauflösung → ca. 23 %

# Ergebnisse mit dem Neuronalen Netz

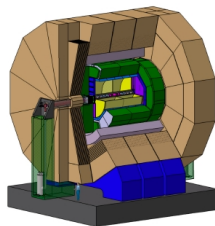
## Linearität:



- Softwarekompensation für das analoge hadronische Kalorimeter und den Tail-Catcher von CALICE für hadronische Schauer
- Verbesserung der Energieauflösung von ca. 25 % durch Neuronales Netz
- Verbesserung der Energieauflösung von 18 % durch Parametrisierung von Gewichten basierend auf der Energiedichte der Schauer

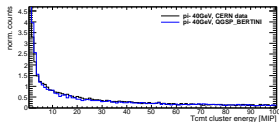
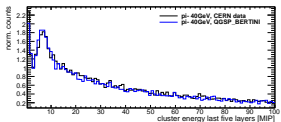
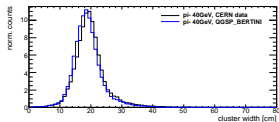
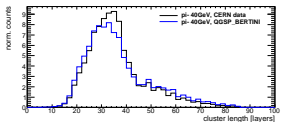
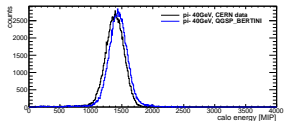
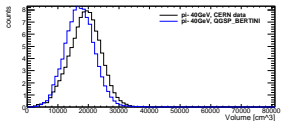
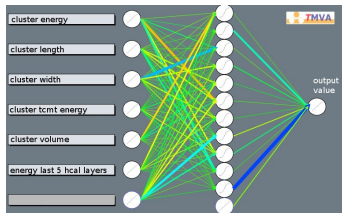
Ausblick:

- Anwendung einer Softwarekompensationsmethode auf Simulationen des gesamten International Large Detektors (ILD) für den ILC

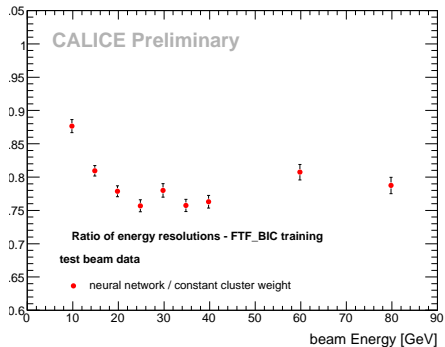
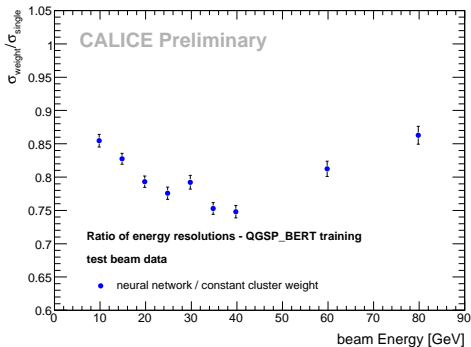


**Backup slides**

# Neuronales Netz



# Gain of Energy Resolution with NN



# Gain of Energy Resolution with Weighting Technique

